

爆破の発震構構について

関西大学工学部 正員 ○中野正吉

〃 〃 中野征郎

〃 学生員 藤井和成

孔井内の火薬発破による実体波の性質について、さきにわれわれは一つの立場から理論的考察を行なつた(藤井・中野¹⁾)。ここにのべる内容はその理論考察の一節を実証するため試みた実験の結果である。

1. 孔井発破のメカニズムを单纯化して、無限弾性体内にある円柱型空洞の側壁と底面に急激な圧力が作用するようなものと考える。上述の論文¹⁾でわれわれはこの波源による放射実体波の性質を調べたが、今回特に実証の目的で注目したのは、そのうちのP波の指向性に関する結果である。すなわち理論ではP波の振幅がつねに

$$rP = \frac{1}{\rho} \{ F_1(c, \sigma) \sin \theta + F_2(c, \sigma) \} \quad (1)$$

と表わされるが(θは円柱軸に対する観測点の方向、cは円柱孔の高さを直径で割った比、またR₁、R₂はcと、媒質のボアソン比σによって定まる量であるが、その関数形は波源における圧力分布のうちの自体の関数でもある。)特に無限円柱孔(c=∞)についてはこれらの比の値が、波源の構造に関係なくつねに

$$F_1/F_2 = (1 - 2\sigma)/\sigma \quad (2)$$

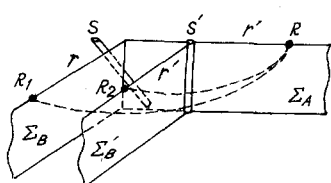
を満足することが結論される。また底面圧がそれ程大きくなない場合にはcの値がかなり小さくても(2)式は十分の精度で成立することも指摘できる。

2. このように理論的には明確な定量関係が導かれるが現実の発破でこうした関係がどの程度認められるかは実証実験としてもきわめて興味深い。实用性という点を考えに入れつつ理論結果のうち、今回は特に(2)式の検討に着目をおいた。

1)通常の孔井発破のcの値は十分大きく、上述の理論に照らして無限円柱孔とみなしえる。また、孔内に泥水等のたまらない発破の構造は火薬自体の存在する近傍に圧力が集中するはずであるから、底面圧の影響はほぼ無視できるであろう。我々が使用した円柱孔は直径1cm長さ100cm、50cm、20cmの三種で、いずれも無限円柱孔のモデルに該当し得ると考えられた。なお火薬添はつねに6号雷管1本を用いた。

2)フィールドは学内の軟弱地層からなる平地である。実証目的に使用するのは表層のみであるが、まずP波屈折法により地層構造の概略に見当をつけた(表層の深さH=3.75m、表層のP波速度V_P'=250m/s、下層のP波速度V_P=500m/s)。

3)F₁、F₂をまとめるには、P波振幅の指向性を用いた。円柱軸に対してことなる方向(θの値)とともにP波の初動振幅を測定すればθの値と共に(1)に代入してF₁、F₂が得られる。しかしフィールドはもとより均一な媒質でないから次の図に示す様な方法をとりフィールドを鉛直に切った



一断面(図の Σ_A 面)での F_1, F_2 を求めるにした。

図の、地表と角 θ をなす波源 S による震 R, R_1, R_2 でのP波初動の振幅値を P_A, P_B とい。 Σ_A, Σ_B 面内での S による F_1 と F_{1A} , F_{2B} と表わせば(1)式か

$$P_A = \frac{1}{P_A V_A} \{ F_{1A} \sin^2 \theta + F_{2A} \} \quad P_B = \frac{1}{P_B V_B} \{ F_{1B} + F_{2B} \}$$

同様に鉛直方向の波源 S' による R, R_1, R_2 の振幅を P'_A, P'_B 、また S' による Σ_A, Σ_B 面内での F_1 と F_{1A}', F_{2B}' とすれば

$$P'_A = \frac{1}{P'_A V'_A} \{ F'_{1A} + F'_{2A} \} \quad P'_B = \frac{1}{P'_B V'_B} \{ F'_{1B} + F'_{2B} \}$$

ここで S' が十分 S に近ければ Σ_B と Σ'_B 面での物理定数は同一と考えてよい。また S と S' との波源としての違いは素量だけにあると仮定すれば $F_{1A}' = gF_{1A}$, $F_{2B}' = gF_{2B}$

$$F'_{1A} = gF_{1A}, \quad F'_{2A} = gF_{2A} \quad \text{および} \quad F'_{1B} = gF_{1B}, \quad F'_{2B} = gF_{2B} \quad g: \text{定数}$$

が成り立つ、これらから F_{1A}/F_{2A} と $P_A, P'_A, P_B, P'_B, \theta$ を用いて表わすことができる。

$$F_{1A}/F_{2A} = (P'_A P_B - P_A P'_B) / (P_A P'_B - P_A P_B \sin^2 \theta)$$

この結果を(1)式の右辺と等置すれば、スールド内 Σ_A 面でのボアツソン比が得られる。初動記録の振幅はさわめて容易に読みとれるから精度をと、高ければ比較的簡単にその概算値を知る一方法と言えるであろう。

(4)2)で述べた結果とP波の波長とを考慮して、 $10^{\circ} \sim 10^{\circ}$ を基準にとり上の方法から F_1/F_2 および u をえた。Pick-upのradialおよびvertical両成分間の感度の補正が不十分であることも一因で、各観測点での初動振幅値はすべてradial方向一成分のみを用いた。実際正しくその方向又に向いていればradial成分の振幅が数cmの大きさのとき十分の正確さともって他成分は省略できる。記録および測定値の解析については、この警告では省略するが結果としての平均値は $\bar{r} = 0.450$ 程度の値を示した。

3. 次に \bar{r} の数値を検証するために一つの試みとして記録の後半に現われる表面波群を用いた。記録中の川から3群みよびM群はM波のモードに対応していふから、まず波源より20mの距離から50mの地震まで3m周隔に上下成分の地震計を測線上に配置し、各位置の走時を求めて3群とM群の分離を行った。この2群が各々どのモードに対応するかは、20mおよび35mの2地震にみられた2成分地震計から、それらの地震で各群のせんすう運動の時間的変化をみることによって検討した。飯田¹⁾の研究と同様に我々の場合も3群がM₁波とM₂波に相当することはほぼ確実である。さてよく知られている様にM₁波の位相速度は波長の変化に応じて表層と下層のRayleigh波速度の間を変動し、一方M₂波の方は両者のS波速度の間の値をとる。すなわち表層部の速度にはすべて有効と見て表わすと

$$\frac{V_s}{V_p} < V(M_1)/V_p < V_s/V_p = \frac{V_s}{V_p} \cdot \frac{V_s}{V_p}, \quad \frac{V_s}{V_p} < V(M_2)/V_p < \frac{V_s}{V_p} \cdot \frac{V_s}{V_p} \quad \text{が成り立つ。} \quad \frac{V_s}{V_p} (-V_s/V_p) \text{および} \frac{V_s}{V_p} = (V_s/V_p)^2 = \sqrt{\frac{1-2\sigma}{2(1-\sigma)}}$$

このの因数として表わされるから $V(M_1), V(M_2)$ の測定値を上の不等式に代入して σ の範囲を求めることができる。 $V_s/V_p \approx 2.0$ であり、また σ はかなり大きいため、この方法で定めた σ の範囲は限られており、実際上はほぼ1個の値を指定してよいとみてよい。この群にして例えばM₁波から定めた σ の値は0.45~0.46となるがこれは先の結果とのばかり良い一致を意味する。

1) 藤井、中野：円柱孔波源による弾性実体波、地震 25巻 2号 (印刷中)

2) 飯田、太田、成瀬：火薬爆発に伴う表面波、地震 19巻 2号、1966, pp. 86~95.